

**بهینه‌سازی ترمواکونومیکی چرخه کالینای مافوق گرم برای دماهای مختلف منابع زمین گرمایی در ایران \***

مقاله پژوهشی

پریسا کاظمیانی نجف آبادی<sup>(۱)</sup> احسان امیری راد<sup>(۲)</sup>

**چکیده** منابع زمین گرمایی یکی از منابع حرارتی تجدیدپذیر هستند. در مطالعه حاضر، ابتدا به امکان‌سنجی استفاده از یک چرخه کالینای مافوق گرم برای تولید توان از منابع زمین گرمایی در ایران پرداخته شده است. با استفاده از تجزیه و تحلیل ترمودینامیکی و ترمواکونومیکی، تأثیر پارامترهای عملیاتی شامل فشار توربین و غلظت آب- آمونیاک بر عملکرد چرخه کالینای مافوق گرم در دمای منبع حرارتی  $170^{\circ}\text{C}$  بررسی شده است. نتایج نشان می‌دهد در دمای منبع حرارتی  $170^{\circ}\text{C}$  و غلظت ۶۵٪، بیشترین کار خالص چرخه در فشار توربین  $28/33\text{ bar}$  و کمترین هزینه آگزرژی تولید توان در فشار  $19/44\text{ bar}$  اتفاق می‌افتد. همچنین در فشار ثابت  $22\text{ bar}$ ، بیشینه کار خالص و کمینه هزینه آگزرژی تولید توان به ترتیب در غلظت ۶۶٪ و غلظت ۷۰/۳۳٪ اتفاق می‌افتد. نهایتاً کمینه کردن هزینه آگزرژی تولید توان به عنوان تابع هدف انتخاب شد و با استفاده از الگوریتم ژنتیک مقادیر فشار توربین و غلظت آب- آمونیاک به طور هم‌زمان بهینه گردید. سرانجام، به منظور دستیابی به حداکثر عملکرد، برای دماهای مختلف منابع زمین گرمایی در ایران مقادیر بهینه فشار و غلظت در جدولی معرفی شد.

**واژه‌های کلیدی** زمین گرمایی، چرخه کالینای مافوق گرم، ترمواکونومیک، بهینه‌سازی.

زمین گرمایی به دلیل پایدار بودن ارجحیت دارد [9]. تولید برق از انرژی زمین گرمایی سابقه طولانی دارد. به طوری که در سال ۱۹۰۴، پرنس پیرو جینوری کنتی توانست اولین دستگاه تولید برق توسط یک چاه بخار زمین گرمایی را در ایتالیا راه‌اندازی کند [10]. از انرژی زمین گرمایی می‌توان برای تولید برق یا مصارف مستقیم (مانند گرمایش، سرمایش و خشک کردن) استفاده کرد [11,12]. به طور کلی، منابع زمین گرمایی در دمای پایین (پایین تر از  $90^{\circ}\text{C}$ ) برای مصرف مستقیم مناسب هستند. مطالعات متعددی در مورد تولید توان از منابع زمین گرمایی به وسیله چرخه‌های مختلف قدرت مانند چرخه کالینا و رانکین انجام شده است [13,14]. چرخه رانکین بخار از چرخه‌های بسیار کارآمد به جهت تولید توان است [15]؛ البته، به دلیل بالا بودن دمای نقطه جوش آب، استفاده از چرخه بخار گزینده مناسبی برای منابع حرارتی با دمای پایین نیست [16]؛

**مقدمه**

امروزه، جلوگیری از تغییرات آب و هوایی، گرم شدن کره زمین و کاهش منابع سوخت‌های فسیلی مسئله مهمی است که نیاز به همکاری همه‌جانبه دارد. افزایش جمعیت منجر به رشد چشم‌گیر میزان تقاضای انرژی در جهان شده است. پیش‌بینی تقاضای انرژی نشان می‌دهد که از سال ۲۰۱۰ تا ۲۰۳۵ تقاضای انرژی در جهان حدود ۳۵٪ رشد می‌کند [1]. انتشار گازهای گل‌خانه‌ای از معایب فعالیت‌های مربوط به تولید برق است [2]؛ بنابراین اقدامات لازم برای کاهش انتشار آلاینده‌های زیست‌محیطی ضروری است. به کارگیری سیستم‌های جذب کربن [3,4]، استفاده از انرژی‌های تجدیدپذیر [5,6] و تکنیک‌های ذخیره‌سازی و بهبود کارایی تبدیل انرژی [7,8]، برخی از روش‌های کاهش انتشار آلاینده‌های زیست‌محیطی است. از میان سایر انرژی‌های تجدیدپذیر، انرژی

\* تاریخ دریافت مقاله ۱۳۹۹/۹/۲۶ و تاریخ پذیرش آن ۱۴۰۰/۷/۱۴ می‌باشد.

(۱) دکتری مهندسی مکانیک، دانشکده فنی و مهندسی، دانشگاه حکیم سبزواری، سبزوار، ایران.

(۲) نویسنده مسئول: دانشیار مهندسی مکانیک، دانشکده فنی و مهندسی، دانشگاه حکیم سبزواری، سبزوار، ایران.

پیکربندی های مختلف چرخه کالینا را که در محل قرارگیری بازیاب‌های حرارتی با هم متفاوتند بررسی کردند. آنها خاطرنشان کردند که استقرار و تعداد بازیاب‌های حرارتی تأثیر به‌سزایی در کارایی چرخه دارد.

ارسلان [32] غلظت بهینه را برای چرخه کالینا که با استفاده از انرژی زمین‌گرمایی  $90^{\circ}\text{C}$  تولید قدرت می‌کند برابر با  $80/2\%$  معرفی کرد.

رودریگوز و همکاران [34] به بررسی چرخه کالینا و چرخه رانکین برای یک نیروگاه زمین‌گرمایی در برزیل پرداختند. آنها نشان دادند که چرخه کالینا در غلظت آمونیاک  $84\%$ ، حدود  $18\%$  توان بیشتری را نسبت به چرخه رانکین آلی تولید می‌کند.

فو و همکاران [35] اثرات فشار ورودی توربین بر عملکرد چرخه کالینا را بررسی کردند. آنها نشان دادند که می‌توان فشار مطلوبی را برای هر دمای منبع حرارتی معرفی کرد.

هتیاراچی و همکاران [36] اثر غلظت‌های مختلف آمونیاک را بر عملکرد چرخه کالینا بررسی کردند. آنها نشان دادند که می‌توان غلظت بهینه‌ای را شناسایی کرد که در آن کارایی چرخه کالینا دارای بیشترین مقدار است. در مطالعه حاضر، براساس تجزیه و تحلیل‌های انرژی، انرژی و ترمواکونومیک چرخه کالینای مافوق گرم که با استفاده از حرارت زمین‌گرمایی تولید قدرت می‌کند، مدل شده است. در ابتدا، تأثیر پارامترهای عملکردی مختلف شامل ماکزیمم فشار چرخه و غلظت آمونیاک بر کارایی چرخه کالینای مافوق گرم بررسی شد. سپس با استفاده از الگوریتم بهینه‌سازی ژنتیک و براساس تابع هدف مینیمم هزینه انرژی تولید توان، بهینه‌ترین شرایط عملیاتی معرفی شد. در نهایت، برای دماهای مختلف منابع زمین‌گرمایی در ایران، بهینه‌ترین مقادیر فشار و غلظت در جدولی ارائه گردید.

اما استفاده از برخی مایعات آلی که دارای دمای جوش پایین هستند می‌تواند گزینه جایگزین مناسبی باشد [17]؛ البته بهتر است توجه شود که برخی از مواد آلی دارای پتانسیل گرمایش جهانی و یا پتانسیل تخریب ازن بالایی هستند [18]. هم‌چنین اکثر مواد آلی فقط مناسب محدوده مشخصی از دمای منبع حرارت هستند [19]. به‌منظور انتخاب کارآمدترین سیال کاری چرخه رانکین آلی در دمای خاصی از منبع حرارتی، مطالعات متعددی انجام شده است [20,21]؛ به‌عنوان مثال، دای و همکاران [22] استفاده از ده سیال عامل آلی مختلف را در سیکل رانکین بررسی کردند. آنها نتیجه گرفتند که در دمای منبع حرارتی  $145^{\circ}\text{C}$ ، استفاده از سیال R236EA در مقایسه با سایر سیالات کاری ارجحیت دارد و منجر به حداکثر بازده انرژی در حدود  $35/43\%$  می‌گردد. هم‌چنین استفاده از مخلوط‌های دوتایی در چرخه‌های قدرت منجر به بازده بالاتر آنها می‌شود [23]. این بهبود به دلیل تطابق مناسب بین دمای مخلوط زئوتروپیک (zeotropic) و دمای منبع حرارتی رخ می‌دهد [24].

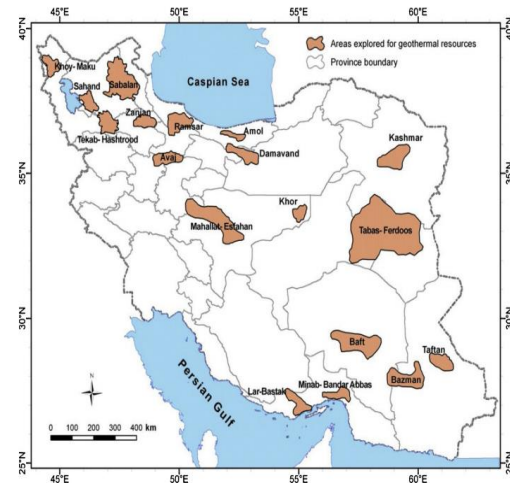
مخلوط زئوتروپیک، یک مخلوط شیمیایی با ترکیبی از چندین سیال خالص است که دارای نقاط جوش مختلف هستند. اخیراً استفاده از مخلوط‌های زئوتروپیک به‌عنوان سیال کاری چرخه قدرت به دلیل برگشت‌ناپذیری پایین‌تر آنها پیشنهاد شده است [25,26]. مخلوط آب-آمونیاک یکی از کارآمدترین مخلوط‌های زئوتروپیک شناخته شده است که اغلب برای تولید توان و سرمایش از منابع حرارتی دمایی استفاده می‌شود [27,28].

در سال ۱۹۸۴، الکساندر کالینا [29] برای بازیابی حرارت اتلافی از انرژی توربین گاز چرخه جدیدی را براساس مخلوط آب-آمونیاک معرفی کرد که کالینا نام‌گذاری شد؛ سپس، این چرخه برای تولید توان از حرارت اتلافی صنایع [30] و انرژی زمین‌گرمایی [31] مورد استفاده قرار گرفت.

مدی و هگلیند [32] در پژوهشی برخی از

## انرژی زمین گرمایی در ایران

در ایران اولین استفاده‌ها از انرژی زمین گرمایی برای حوضچه‌های استحمام آب گرم به دوران باستان باز می‌گردد. تحقیقات در زمینه انرژی زمین گرمایی در ایران برای اولین بار در سال ۱۹۷۵ انجام شد. در سال ۱۹۸۳، چهار منطقه زمین گرمایی شامل مناطق سبلان (شهر مشکین شهر)، خوی - ماکو، دماوند و سهنند مورد بررسی قرار گرفت. پس از یک فاصله طولانی، در سال ۱۹۹۴، تولید برق از منبع زمین گرمایی سبلان پیشنهاد شد. نوراللهی و همکاران [37] اولین نقشه از مناطق دارای پتانسیل زمین گرمایی در ایران را در سال ۲۰۰۹ معرفی کردند. بیشتر مطالعات انجام شده در ایران به ارزیابی پتانسیل منابع زمین گرمایی در مناطق مختلف ایران پرداخته‌اند [38,39]. نقشه پتانسیل زمین گرمایی ایران در شکل (۱) نشان داده شده است [40]. دو نوع منبع زمین گرمایی با سیال زمین گرمایی تک فاز و یا دوفاز در ایران وجود دارد.

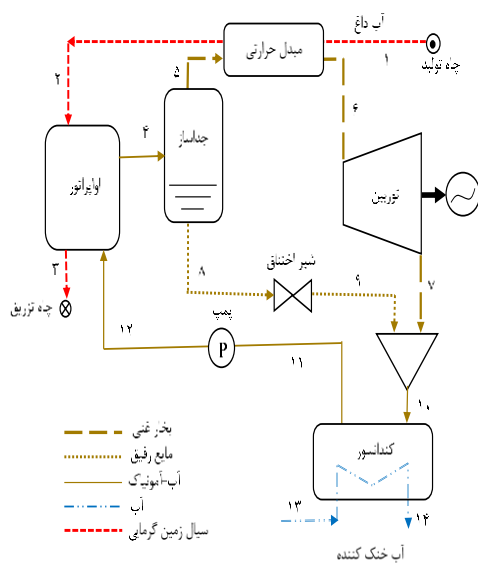


شکل ۱ نقشه مناطق دارای پتانسیل زمین گرمایی در ایران [40]

## توصیف سیستم و فرضیات در نظر گرفته شده

در مقاله حاضر، یک چرخه کالینای مافوق گرم که با استفاده از حرارت یک منبع زمین گرمایی در ایران

تولید توان می‌کند مورد بررسی قرار گرفته است. شکل (۲) شماتیکی از سیستم مورد مطالعه را نشان می‌دهد. همان‌طور که در شکل (۲) نشان داده شده است، چرخه کالینای مافوق گرم متشکل از توربین، مخلوط‌کننده، مبدل حرارتی (مافوق گرم‌کننده)، کندانسور، پمپ، اواپراتور، جدا ساز و یک شیر اختناق می‌باشد. مخلوط آب- آمونیاک به‌عنوان سیال کاری وارد اواپراتور می‌شود و پس از جذب گرمای سیال زمین گرمی به صورت سیال دوفازی اواپراتور را ترک می‌کند و وارد جدا ساز می‌شود؛ سپس، بخار آمونیاک غنی وارد یک مبدل حرارتی می‌شود و نهایتاً در حالت بخار مافوق گرم در توربین انبساط می‌یابد. از طرف دیگر مایع اشباع آب- آمونیاک پس از عبور از یک شیر اختناق به فشار خروجی توربین می‌رسد. سپس دو جریان در یک مخلوط‌کننده با هم ترکیب می‌شوند و پس از انتقال حرارت در کندانسور به مایع تبدیل می‌شوند. نهایتاً سیال خروجی از کندانسور به وسیله پمپ به بیشترین فشار چرخه می‌رسد و همه مراحل فوق مجدداً تکرار می‌گردد.



شکل ۲ شماتیک سیستم مورد مطالعه

### تحلیل سیستم

در این پژوهش یک چرخه کالینای مافوق گرم ابتدا با استفاده از تحلیل ترمودینامیکی مدل شده است. سپس با استفاده از تحلیل ترموآکونومیک به بررسی و آنالیز اقتصادی سیستم پرداخته شده است. نهایتاً با استفاده از الگوریتم بهینه‌سازی ژنتیک چرخه مورد مطالعه بهینه‌سازی گردیده است.

**تحلیل ترمودینامیکی.** برای مدل‌سازی هر چرخه ترمودینامیکی باید از معادلات موازنه جرم، انرژی و آگرژی استفاده شود. فرم ساده این معادلات را می‌توان به صورت زیر نوشت:

$$\sum \dot{m}_i = \sum \dot{m}_e \quad (1)$$

$$\dot{Q} - \dot{W} = \sum \dot{m}_{out} h_{out} - \sum \dot{m}_{in} h_{in} \quad (2)$$

$$\dot{\phi}_Q - \dot{W}_{net} = \sum \dot{E}x_{out} - \sum \dot{E}x_{in} + \dot{E}x_D \quad (3)$$

در معادلات فوق،  $\dot{Q}$  میزان انتقال حرارت و  $\dot{W}$  میزان کار خروجی برای هر حجم کنترل است.  $h$  و  $\dot{m}$  به ترتیب نرخ جریان جرمی سیال و انتالپی هستند.  $\dot{E}x_D$  برابر با میزان آگرژی تخریبی و  $\dot{\phi}_Q$  بیانگر آگرژی مربوط به انتقال گرما است که مطابق رابطه زیر محاسبه می‌شود:

$$\dot{\phi}_Q = [1 - \frac{T_0}{T}] \dot{Q} \quad (4)$$

معادلات تعادل انرژی و آگرژی برای اجزای مختلف چرخه مورد بررسی در جدول (۲) ارائه شده است.

فرضیات اصلی در تحلیل چرخه کالینای مافوق

گرم به شرح زیر است [23]

- سیستم در شرایط پایدار کار می‌کند؛
- از انرژی پتانسیل و جنبشی صرف نظر شده است؛
- بازده آیزنتروپیک توربین برابر ۸۵٪ فرض شده است؛
- بازده آیزنتروپیک پمپ برابر ۸۰٪ فرض شده است؛
- آب خنک‌کننده در شرایط محیطی به کندانسور وارد می‌شود؛

- خروجی کندانسور مایع اشباع است؛
- دمای خروجی مایع زمین‌گرمایی از اواپراتور بالاتر از ۸۰°C است [41]؛
- هزینه بر واحد آگرژی منبع حرارتی برابر با ۱/۳ GJ در نظر گرفته شده است؛
- هزینه بر واحد آگرژی آب خنک‌کننده در کندانسور برابر با صفر است.

هم‌چنین پارامترهای لازم برای شبیه‌سازی سیستم در جدول (۱) نشان داده شده است.

جدول ۱ برخی از پارامترهای ورودی مورد نیاز برای شبیه‌سازی

| پارامتر   | مقدار |
|---|-------|
| نرخ جریان جرمی منبع حرارتی (kg/s)                   | ۱     |
| دمای منبع حرارتی (°C)                               | ۱۷۰   |
| حداقل دمای سیال زمین‌گرمایی خروجی از اواپراتور (°C) | ۸۰    |
| دمای نقطه پینچ (°C)                                 | ۶     |
| دمای ورودی منبع سرد (°C)                            | ۱۵    |
| دمای خروجی منبع سرد (°C)                            | ۳۰    |
| فشار توربین (bar)                                   | ۲۰-۴۰ |
| غلظت آب-آمونیاک (%)                                 | ۶۰-۹۰ |

$$\eta_{II} = \frac{\dot{W}_{net}}{\dot{\phi}_{Q,in}} \quad (7)$$

**تحلیل ترمو اکونومیک.** تحلیل ترمو اکونومیک یک سیستم را از منظر اقتصادی و حرارتی بررسی می کند. هزینه انرژی هر جریان را می توان با استفاده از تجزیه و تحلیل ترمو اکونومیک محاسبه کرد. معادله تعادل هزینه برای هر حجم کنترل را می توان به شرح زیر بیان کرد [42]:

$$\dot{C}_{q,k} + \sum \dot{C}_{in,k} + \dot{Z}_k = \dot{C}_{w,k} + \sum \dot{C}_{out,k} \quad (8)$$

$\dot{C}_{q,k}$  و  $\dot{C}_{w,k}$  به ترتیب نرخ هزینه انرژی واحد انتقال گرما و کار هستند.  $\dot{C}_{out,k}$  و  $\dot{C}_{in,k}$  به ترتیب نرخ هزینه جریان های ورودی و خروجی هر جز هستند که مطابق رابطه زیر محاسبه می شوند:

$$\dot{C}_k = c_k \dot{E}x_k \quad (9)$$

$\dot{Z}_k$  نرخ کلی هزینه هر جزء شامل هزینه های سرمایه گذاری و تعمیر و نگهداری است که مطابق زیر به دست می آید [42].

$$\dot{Z}_k = \dot{Z}_k^{CI} + \dot{Z}_k^{OM} = \frac{CRF \times \phi_r \times Z_k}{N \times 3600} \quad (10)$$

در معادله فوق،  $\phi_r$  و  $N$  به ترتیب عامل نگهداری (در این مطالعه ۱/۰۶) و ساعت کار سالانه (در این مطالعه ۷۴۴۶ ساعت) هستند.  $Z_k$  هزینه خرید هر یک از اجزای سیستم است که طبق جدول (۳) به دست می آید [۴۲]. CRF به شرح زیر محاسبه می شود:

$$CRF = \frac{i(1+i)^n}{(1+i)^n - 1} \quad (11)$$

در معادله فوق،  $n$  و  $i$  به ترتیب کل دوره عملکرد سیستم (در این مطالعه ۲۰ سال) و نرخ بهره (در این

جدول ۲ معادلات تعادل انرژی و انرژی برای

اجزای مختلف چرخه

| اجزای سیستم | انرژی  | انرژی   |
|-------------|--|---|
| توربین      | $\dot{W}_{tur} = \dot{m}_6(h_6 - h_7)$   | $\dot{E}x_6 = \dot{E}x_7 + \dot{W}_{tur} + \dot{E}x_{D,tur}$                        |
| مخلوط کننده | $\dot{m}_7 h_7 + \dot{m}_9 h_9 = \dot{m}_{10} h_{10}$  | $\dot{E}x_9 + \dot{E}x_7 = \dot{E}x_{10} + \dot{E}x_{D,mix}$                        |
| کندانسور    | $\dot{m}_{10}(h_{10} - h_{11}) = \dot{m}_{13}(h_{14} - h_{13})$                                    | $\dot{E}x_{14} + \dot{E}x_{11} = \dot{E}x_{10} + \dot{E}x_{13} + \dot{E}x_{D,cond}$ |
| پمپ         | $\dot{W}_{pump} = \dot{m}_{11}(h_{12} - h_{11})$   | $\dot{E}x_{11} + \dot{W}_{tur} = \dot{E}x_{12} + \dot{E}x_{D,pump}$                 |
| مبدل حرارتی | $\dot{m}_5(h_6 - h_5) = \dot{m}_1(h_1 - h_2)$  | $\dot{E}x_5 + \dot{E}x_1 = \dot{E}x_2 + \dot{E}x_6 + \dot{E}x_{D,HTR}$              |
| اوپراتور    | $\dot{m}_{12}(h_4 - h_{12}) = \dot{m}_2(h_2 - h_3)$  | $\dot{E}x_2 + \dot{E}x_{12} = \dot{E}x_4 + \dot{E}x_3 + \dot{E}x_{D,evap}$          |
| جداساز      | $\dot{m}_8 h_8 + \dot{m}_5 h_5 = \dot{m}_4 h_4$<br>$\dot{m}_8 X_8 + \dot{m}_5 X_5 = \dot{m}_4 X_4$ | $\dot{E}x_4 = \dot{E}x_8 + \dot{E}x_5 + \dot{E}x_{D,sep}$                           |
| شیر اختناق  | $h_8 = h_9$  | $\dot{E}x_8 = \dot{E}x_9 + \dot{E}x_{D,t.v}$  |

به منظور ارزیابی عملکرد چرخه مدل شده، کار خالص، بازده های انرژی و انرژی به شرح زیر محاسبه می شوند:

$$\dot{W}_{net} = \dot{W}_{tur} - \dot{W}_{pump} \quad (5)$$

$$\eta_I = \frac{\dot{W}_{net}}{\dot{Q}_{in}} \quad (6)$$

الگوریتم ژنتیک موجود در نرم‌افزار EES (Engineering Equation Solver) برای بهینه‌سازی سیستم استفاده شده است [44].

### اعتبارسنجی مدل ترمودینامیکی

برای بررسی قابلیت اطمینان مدل ترمودینامیکی توسعه‌یافته، روابط و فرضیات، یک چرخه کالینای فوق گرم مدل شد. نتایج مدل حاضر با نتایج وانگ و همکاران [45] مقایسه شد که در جدول (۴) نشان داده شده است. مطابق جدول (۴) توافق خوبی بین نتایج مطالعه حاضر و نتایج حاصل از مطالعه وانگ و همکاران [45] مشاهده می‌شود.

جدول ۴ اعتبارسنجی مدل ترمودینامیکی

| خطا (%) | وانگ و همکاران [45] | مدل حاضر |                  |
|---------|---------------------|----------|------------------|
| ۷/۴     | ۲۴/۹۴               | ۲۶/۸۱    | کار پمپ (kW)     |
| ۱/۱     | ۴۰۹/۲۸              | ۴۰۴/۶    | کار توربین (kW)  |
| ۱/۷     | ۳۸۴/۳۴              | ۳۷۷/۸    | کار خالص (kW)    |
| ۱/۵     | ۶/۵                 | ۶/۴      | بازده حرارتی (%) |

### نتایج

در این بخش، ابتدا تأثیر پارامترهای عملیاتی مانند فشار توربین و غلظت مخلوط آب- آمونیاک بر عملکرد سیستم مورد مطالعه بررسی می‌شود؛ سپس با استفاده از الگوریتم بهینه‌سازی ژنتیک و براساس تابع هدف ترموآکونومیک معرفی شده، در یک دمای منبع حرارتی ثابت، مقادیر فشار توربین و غلظت آب- آمونیاک بهینه می‌شود. نهایتاً این مقادیر بهینه برای سایر دماهای منابع زمین‌گرمایی در جدولی ارائه می‌گردد.

مطالعه ۱۰٪ هستند.

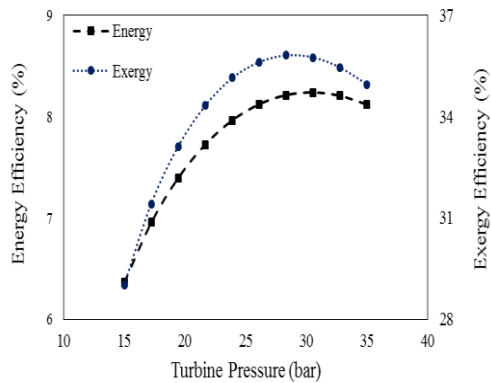
معادلات تعادل ترموآکونومیک برای اجزای مختلف چرخه در جدول (۳) ارائه شده است.

جدول ۳ معادلات تعادل ترموآکونومیک

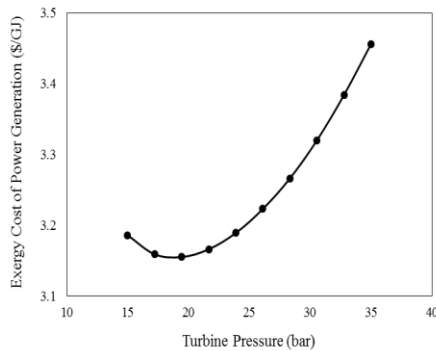
برای اجزای مختلف چرخه

| اجزای سیستم | تعادل ترموآکونومیک   | هزینه خرید  |
|-------------|--|---|
| توربین      | $\dot{C}_6 + \dot{Z}_{tur} = \dot{C}_7 + \dot{C}_{tur}$                      | $Z_{tur} = 4405 \times W_{tur}^{0.7}$   |
| مخلوط کننده | $\dot{C}_7 + \dot{C}_9 + \dot{Z}_{mix} = \dot{C}_{10}$                       | $Z_{mix} = 0$   |
| کندانسور    | $\dot{C}_{14} + \dot{C}_{11} + \dot{Z}_{cond} = \dot{C}_{10} + \dot{C}_{13}$ | $Z_{cond} = 1773 \times \dot{m}_{10}$   |
| پمپ         | $\dot{C}_{11} + \dot{C}_{pump} + \dot{Z}_{pump} = \dot{C}_{12}$              | $Z_{pump} = 2100 \left( \frac{W_{pump}}{10} \right)^{0.26} \times \left( \frac{1 - \eta_{is,pump}}{\eta_{is,pump}} \right)^{0.5}$ |
| مبدل حرارتی | $\dot{C}_1 + \dot{C}_5 + \dot{Z}_{hex} = \dot{C}_2 + \dot{C}_6$              | $Z_{hex} = 12000 \times \left( \frac{A_{hex}}{100} \right)^{0.6}$   |
| اوپراتور    | $\dot{C}_2 + \dot{C}_{12} + \dot{Z}_{evap} = \dot{C}_4 + \dot{C}_3$          | $Z_{evap} = 16000 \times \left( \frac{A_{evap}}{100} \right)^{0.6}$   |
| شیر اختناق  | $\dot{C}_8 + \dot{Z}_{valve} = \dot{C}_9$                                    | $Z_{valve} = 0$   |

**بهینه‌سازی.** به منظور بهینه‌سازی سیستم مورد مطالعه، به حداقل رساندن هزینه آگرژی واحد تولید توان ( $C_{tur}$ ) به عنوان تابع هدف انتخاب شده است. فشار توربین و غلظت آب- آمونیاک متغیرهای تصمیم‌گیری مؤثری هستند که عملکرد سیستم تولید قدرت را تحت تأثیر قرار می‌دهند. به منظور بهینه‌سازی سیستم و دستیابی به مقادیر بهینه متغیرها، الگوریتم بهینه‌سازی ژنتیک مورد استفاده قرار گرفته است. الگوریتم ژنتیک یک روش بهینه‌سازی است که از قوانین تکامل طبیعی برای یافتن مقادیر بهینه استفاده می‌کند [43]. در مقاله حاضر، از



شکل ۴ تأثیر فشارهای مختلف توربین بر بازده انرژی و انرژی



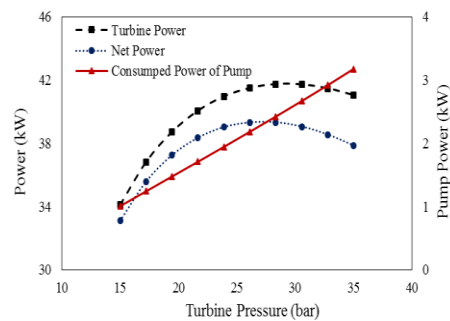
شکل ۵ تأثیر فشارهای مختلف توربین بر هزینه انرژی تولید توان

**تأثیر غلظت آب - آمونیاک بر عملکرد چرخه.** اثرات تغییر غلظت آب - آمونیاک بر کار مصرفی در پمپ، کار تولیدی توربین و همچنین کار خالص سیستم مورد مطالعه در شکل (۶) نشان داده شده است. افزایش غلظت آمونیاک سبب کاهش نرخ جریان جرمی سیستم و در نتیجه کاهش کار مصرفی در پمپ می شود که در شکل (۶) نشان داده شده است. همچنین، بالا بردن غلظت آمونیاک منجر به افزایش نرخ جریان جرمی عبوری از توربین می شود، در حالی که کار مخصوص توربین را کاهش می دهد. بنابراین، برهم کنش این تغییرات منجر به وجود یک غلظت بهینه شده است که در آن کار توربین در ماکزیمم مقدار است. همچنین مطابق شکل (۶)، در غلظت ۰.۶۶٪، بیشترین مقدار کار خالص برابر با ۳۸/۵ kW است.

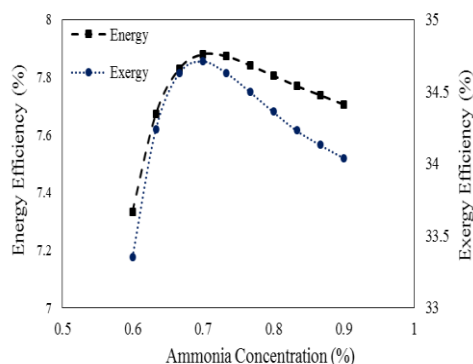
**تأثیر فشار توربین بر عملکرد چرخه.** فشار توربین بالاتر منجر به افزایش کار پمپ می شود که در شکل (۳) نشان داده شده است. افزایش فشار توربین منجر به افزایش انتالپی ورودی به توربین و نهایتاً افزایش کار مخصوص توربین می گردد. از طرف دیگر، نرخ جریان جرمی عبوری از توربین با افزایش فشار کاهش می یابد. مطابق جدول (۲)، کار توربین برابر حاصل ضرب کار مخصوص در نرخ جریان جرمی عبوری از توربین است؛ بنابراین یک فشار بهینه وجود دارد که در آن کار توربین بیشینه است. هم چنین کار خالص که از اختلاف کار توربین و کار مصرفی پمپ حاصل می شود در فشار ۲۸/۳۳ bar به ماکزیمم مقدار ۳۹/۳۲ kW می رسد که در شکل (۳) نمایش داده شده است.

شکل (۴) تأثیر افزایش فشار توربین بر مقادیر بازده انرژی و انرژی را نشان می دهد. افزایش فشار توربین منجر به کاهش انرژی و انرژی جذب شده در اوپراتور می شود. مطابق معادلات (۶ و ۷)، ماکزیمم بازده انرژی و انرژی به ترتیب در فشارهای ۳۰/۵۶ bar و ۲۸/۳۳ bar اتفاق افتاده است که در شکل (۴) نشان داده شده است.

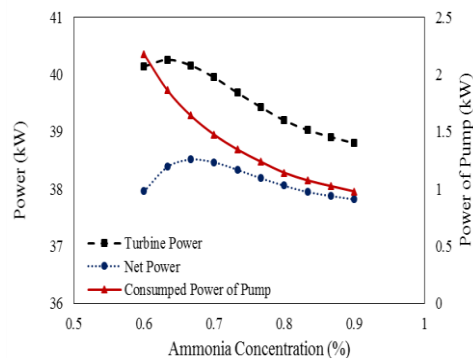
تأثیر افزایش فشار ورودی توربین بر هزینه واحد انرژی تولید قدرت در شکل (۵) نشان داده شده است. واضح است هر چه مقدار هزینه انرژی تولید توان کمتر باشد بهتر است. بهینه ترین مقدار هزینه انرژی برابر است با ۳/۱۵۵ \$/GJ که در فشار ۱۹/۴۴ bar اتفاق می افتد.



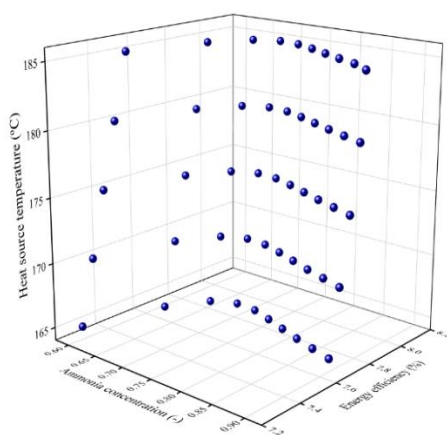
شکل ۳ تأثیر فشارهای مختلف توربین بر کار مصرفی پمپ، کار توربین و کار خالص



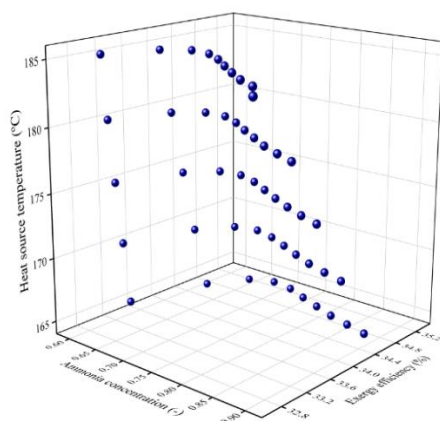
(آ)



شکل ۶ تأثیر غلظت‌های مختلف آمونیاک بر کار مصرفی پمپ، کار توربین و کار خالص



(ب)



(ج)

شکل ۷ تأثیر غلظت‌های مختلف آمونیاک بر (آ) بازده انرژی و (ب) بازده انرژی در دمای منبع زمین گرمایی ۱۷۰°C، (ج) بازده انرژی در دردهماهای مختلف منابع زمین گرمایی و (د) بازده انرژی در دماهای مختلف منابع زمین گرمایی

تغییرات بازده‌های انرژی و انرژی با افزایش غلظت برای دمای ۱۷۰°C در شکل (آ-۷) نشان داده شده است. مطابق شکل (آ-۷) وقتی سایر پارامترهای سیستم ثابت باشد، ماکزیمم بازده انرژی و انرژی برای دمای منبع زمین گرمایی ۱۷۰°C به ترتیب برابر با ۷۷/۸۸ و ۳۴/۷۱٪ هستند که در غلظت ۷۰٪ اتفاق می‌افتد. هم‌چنین تغییرات بازده‌های انرژی و انرژی با افزایش غلظت در دماهای مختلف منابع زمین گرمایی در شکل (ب-۷) و (ج-۷) نشان داده شده است. افزایش دمای منبع زمین گرمایی منجر به افزایش بازده انرژی و انرژی شده است.

در شکل (۸) تأثیر غلظت‌های مختلف آمونیاک بر هزینه انرژی تولید توان در دماهای مختلف منابع زمین گرمایی نمایش داده شده است. همان‌طور که در شکل (۸) نشان داده شده است برای دمای منبع گرمایی ۱۷۰°C، در غلظت ۷۰/۳۳٪ هزینه واحد انرژی تولید توان در کمترین مقدار و برابر با ۳/۱۱\$/GJ است. مطابق شکل (۸) افزایش دمای منبع زمین گرمایی منجر به کاهش هزینه واحد انرژی تولید توان شده است.



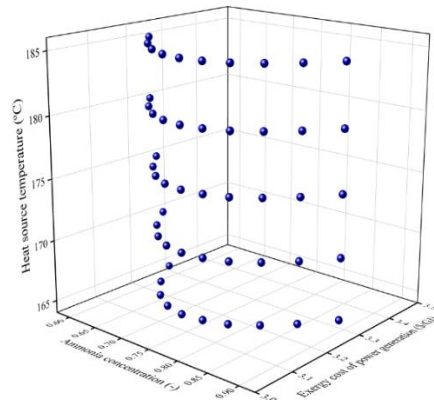
جدول ۶ شرایط بهینه براساس کمینه کردن هزینه اگزرژی تولید

توان در دماهای مختلف حرارتی

| کار خالص (kW) | تابع هدف (\$/GJ) | شرایط بهینه               | دما (°C) | منطقه زمین گرمایی |
|---------------|------------------|---------------------------|----------|-------------------|
| ۳۹/۶۳         | ۳/۱              | P=۲۷/۹۹<br>bar<br>X=۸۰/۱۳ | ۱۶۵      | سهند              |
| ۴۳/۲۵         | ۳/۰۹۶            | P=۲۸/۸۵<br>bar<br>X=۸۰/۱  | ۱۷۰      | خوی - ماکو        |
| ۵۰/۶۵         | ۳/۰۸۵            | P=۳۰/۰۵bar<br>X=۸۰/۲۱     | ۱۸۳      | سبلان             |
| ۵۷/۴۱         | ۳/۰۷۶            | P=۳۳/۶۱<br>bar<br>X=۸۳/۳۹ | ۱۹۰      | دماوند            |

### نتیجه گیری

افزایش درخواست انرژی، کاهش منابع سوخت‌های فسیلی، انتشار آلاینده‌های زیست‌محیطی و... منجر به نیاز روزافزون به استفاده از سیستم‌های نوآورانه و سوخت‌های تجدیدپذیر شده‌است. از میان سایر انرژی‌های تجدید پذیر، انرژی زمین‌گرمایی به دلیل پایدار بودن ارجحیت دارد. در مقاله حاضر، یک چرخه کالینای مافوق گرم با هدف تولید توان از گرمای منابع زمین‌گرمایی در ایران مدل شده‌است. براساس تجزیه و تحلیل‌های ترمودینامیکی و ترموآکونومیکی اثرات پارامترهای مختلف عملیاتی مانند فشار توربین و غلظت آب-آمونیاک بر عملکرد چرخه بررسی شد. نتایج در دمای منبع حرارتی ۱۷۰°C و غلظت ۶۵٪ نشان می‌دهند ماکزیمم بازده‌های انرژی و اگزرژی به ترتیب در فشارهای ۳۰/۵۶ bar و ۲۸/۳۳ bar اتفاق می‌افتند؛ در حالی که کمترین هزینه اگزرژی تولید توان در فشار ۱۹/۴۴ bar است. هم‌چنین در فشار ثابت ۲۲bar، ماکزیمم بازده انرژی و اگزرژی به ترتیب برابر



شکل ۸ تأثیر غلظت‌های مختلف آمونیاک و دماهای مختلف منابع زمین‌گرمایی بر هزینه اگزرژی تولید توان

### بهینه‌سازی هم‌زمان غلظت آب-آمونیاک و فشار

توربین. به منظور بهینه‌سازی سیستم مورد مطالعه در دمای مشخصی از منبع حرارتی، کمینه کردن هزینه اگزرژی تولید توان به عنوان تابع هدف در نظر گرفته شده‌است. با استفاده از الگوریتم بهینه‌سازی ژنتیک در دمای منبع حرارتی ۱۷۰°C، مقادیر بهینه برای غلظت آمونیاک و فشار توربین مطابق جدول (۵) به دست می‌آید.

جدول ۵ شرایط بهینه براساس کمینه کردن هزینه اگزرژی تولید توان در دمای ۱۷۰°C

| کار خالص (kW) | تابع هدف (\$/GJ) | غلظت (%) | فشار (bar) | دما (°C) |
|---------------|------------------|----------|------------|----------|
| ۴۳/۲۵         | ۳/۰۹۶            | ۸۰/۰۱    | ۲۸/۸۵      | ۱۷۰      |

براساس الگوریتم بهینه‌سازی ژنتیک، نتایج بهینه‌سازی برای دماهای مختلف منابع زمین‌گرمایی در ایران در جدول (۶) نشان داده شده‌است. افزایش دمای منبع حرارتی سبب بهبود تولید کار خالص و در نتیجه کاهش هزینه اگزرژی تولید توان شده‌است. هم‌چنین مطابق جدول (۶)، با افزایش دمای منبع حرارتی مقدار فشار و غلظت بهینه افزایش یافته‌است.

| نمادها         |                             | با ۷/۸۸٪ و ۳۴/۷۱٪ هستند که در غلظت ۷۰٪ اتفاق می‌افتند. با استفاده از الگوریتم بهینه‌سازی ژنتیک و تابع هدف کمینه کردن هزینه آگزرژی تولید توان، غلظت و فشار به‌طور هم‌زمان در دمای منبع حرارتی ثابت بهینه شدند. به‌طوری‌که در دمای منبع حرارتی ۱۷۰°C، فشار و غلظت بهینه به ترتیب برابر با ۲۸/۸۵ bar و ۸۰/۱٪ هستند. در نهایت به‌منظور دستیابی به حداکثر عملکرد، برای دماهای مختلف منابع زمین‌گرمایی در ایران مقادیر بهینه غلظت و فشار در جدولی ارائه شدند. |              |
|----------------|-----------------------------|---|--------------|
| $\dot{m}$      | نرخ جریان جرمی (kg/s)       |   |              |
| $\dot{Q}$      | نرخ انتقال حرارت (kW)       |   |              |
| $\dot{W}$      | نرخ کار (kW)                |   |              |
| $h$            | انتالپی (kJ/kg)             |   |              |
| $\dot{E}_x$    | نرخ آگزرژی (kW)             |   |              |
| $\dot{\phi}_Q$ | نرخ آگزرژی انتقال گرما (kW) |   |              |
| $T$            | دما (K)                     |   |              |
| $\eta_I$       | بازده انرژی (%)             | واژه نامه   |              |
| $\eta_{II}$    | بازده آگزرژی (%)            | Geothermal  | زمین‌گرمایی  |
| $\dot{C}$      | نرخ هزینه آگزرژی (\$/s)     | Renewable   | تجدید پذیر   |
| $\dot{Z}$      | نرخ هزینه اولیه (\$/s)      | Thermoeconomic  | ترموآکونومیک |
| $\phi_r$       | عامل نگه‌داری               | Pinch point   | نقطه پینچ    |
| $N$            | ساعت کار سالانه (h)         | Optimization  | بهینه‌سازی   |
| $n$            | دوره عملکرد سیستم (سال)     | Turbine pressure  | فشار توربین  |
| $i$            | نرخ بهره                    | Ammonia concentration   | غلظت آمونیاک |

### مراجع

1. Al-alili, A., Hwang, Y. and Radermacher, R., "Review of Solar Thermal Air Conditioning Technologies", *International Journal of Refrigeration*, Vol. 39, pp. 4–22, (2013).
2. Amiri Rad, E. and Kazemiani-najafabadi, P., "Thermo-Environmental and Economic Analyses of an Integrated Heat Recovery Steam-Injected Gas Turbine", *Energy*, Vol. 141, pp. 1940–1954, (2017).
3. Gazzani, M., Turi, DM., Ghoniem, AF., Macchi, E. and Manzolini, G., "Techno-Economic Assessment of Two Novel Feeding Systems for a Dry-Feed Gasifier in an IGCC Plant with Pd-Membranes for CO<sub>2</sub> Capture", *International Journal of Greenhouse Gas Control*, Vol. 25, pp. 62–78, (2014).
4. Hanak, DP., Biliyok, C. and Manovic, V., "Efficiency Improvements for the Coal-Fired Power Plant Retrofit with CO<sub>2</sub> Capture Plant Using Chilled Ammonia Process", *Applied Energy*, Vol. 151, pp. 258–272, (2015).
5. Sheu, EJ. and Ghoniem, A., "Redox Reforming Based, Integrated Solar-Natural Gas Plants: Reforming and Thermodynamic Cycle Efficiency", *International Journal of Hydrogen Energy*, Vol. 39, pp.

- 14817–14833, (2014).
6. Sheu, EJ., Mokheimer, EMA. and Ghoniem. AF., "Dry Redox Reforming Hybrid Power Cycle: Performance Analysis and Comparison to Steam Redox Reforming", *International Journal of Hydrogen Energy*, Vol. 40, pp. 2939–2949, (2015).
  7. Carapellucci, R. and Giordano, L., "Upgrading Existing Coal-Fired Power Plants Through Heavy-Duty and Aeroderivative Gas Turbines", *Applied Energy*, Vol. 156, pp. 86–98, (2015).
  8. Singh, OK., "Performance Enhancement of Combined Cycle Power Plant Using Inlet Air Cooling by Exhaust Heat Operated Ammonia-Water Absorption Refrigeration System", *Applied Energy*, Vol. 180, pp. 867–879, (2016).
  9. Ratlamwala, TAH. and Dincer, I., "Energetic and Exergetic Investigation of Novel Multi-Flash Geothermal Systems Integrated with Electrolyzers", *Journal of Power Sources*, Vol. 254, pp. 306–315, (2014).
  10. DiPippo, R., "Geothermal Power Plants: Principles , Applications , Case Studies and Environmental Impact", Third Edit. Butterworth-Heinemann, (2012).
  11. Kanoglu, M. and Bolatturk, A., "Performance and Parametric Investigation of a Binary Geothermal Power Plant by Exergy", *Renewable Energy*, Vol. 33, pp. 2366–2374, (2008).
  12. Soltani, M., Kashkooli, FM., Dehghani-Sanij, A., Kazemi, AR., Bordbar, N., Farshchi, MJ., et al., "A Comprehensive Study of Geothermal Heating and Cooling Systems", *Sustainable Cities and Society*, Vol. 44, pp. 793–818, (2019).
  13. Fu, W., Zhu, J., Li, T., Zhang, W. and Li, J., "Comparison of a Kalina Cycle Based Cascade Utilization System with an Existing Organic Rankine Cycle based Geothermal Power System in an Oilfield", *Applied Thermal Engineering*, Vol. 58, No. 2, pp. 224–233, (2013).
  14. Prananto, LA., Zaini, IN., Mahendranata, BI., Juangsa, FB., Aziz, M. and Soelaiman, F., "Use of the Kalina Cycle as a Bottoming Cycle in a Geothermal Power Plant: Case Study of the Wayang Windu Geothermal Power Plant", *Applied Thermal Engineering*, Vol. 132, pp. 686–696, (2018).
  15. Andeasen, JG., Meroni, A. and Haglind, F., "A Comparison of Organic and Steam Rankine Cycle Power Systems for Waste Heat Recovery on Large Ships", *Energies*, Vol. 10, No. 4, pp. 1–23, (2017).
  16. Drescher, U. and Bruggemann, D., "Fluid Selection for the Organic Rankine Cycle ( ORC ) in Biomass Power and Heat Plants", *Applied Thermal Engineering*, Vol. 27, No. 1, pp. 223–228, (2007).
  17. Saleh, B., Koglbauer, G., Wendland, M. and Fischer, J., "Working Fluids for Low-Temperature Organic Rankine Cycles", *Energy*, Vol. 32, No. 7, pp. 1210–1221, (2007).
  18. Dincer, I. and Kanoglu, M., "Refrigeration Systems and Applications", Second. Wiley, (2010).

19. [19] Pintoro, A., Ambarita, H., Nur, TB. and Napitupulu, FH., "Performance Analysis of Low Temperature Heat Source of Organic Rankine Cycle for Geothermal Application", *IOP Conference Series: Materials Science and Engineering PAPER*, Vol. 308, (2018).
20. Rayegan, R. and Tao, YX., "A Procedure to Select Working Fluids for Solar Organic Rankine Cycles (ORCs)", *Renewable Energy*, Vol. 36, No. 2, pp. 659–670, (2011).
21. Fakeye-Babatunde, A. and Oyedepo-Sunday, O., "A Review of Working Fluids for Organic Rankine Cycle (ORC) Applications", *IOP Conf Series: Materials Science and Engineering*, Vol. 413, (2018).
22. Dai, Y., Wang, J. and Gao, L., "Parametric Optimization and Comparative Study of Organic Rankine Cycle (ORC) for Low Grade Waste Heat Recovery", *Energy Conversion and Management*, Vol. 50, No. 3, pp. 576–582, (2009).
23. Kazemiani-Najafabadi, P. and Amiri Rad, E., "Optimization of an Improved Power Cycle for Geothermal Applications in Iran", *Energy*, Vol. 209, pp. 118381, (2020).
24. Mahmoudi, SMS., Pourreza, A., Akbari, AD. and Yari, M., "Exergoeconomic Evaluation and Optimization of a Novel Combined Augmented Kalina Cycle/ Gas Turbine-Modular Helium Reactor", *Applied Thermal Engineering*, Vol. 109, pp. 109–120, (2016).
25. Miao, Z., Zhang, K., Wang, M. and Xu, J., "Thermodynamic Selection Criteria of Zeotropic Mixtures for Subcritical Organic Rankine Cycle", *Energy*, Vol. 167, pp. 484–497, (2019).
26. Dawo, F., Wieland, C. and Spliethoff, H., "Kalina Power Plant Part Load Modeling: Comparison of Different Approaches to Model Part Load Behavior and Validation on Real Operating Data", *Energy*, Vol. 174, pp. 625–537, (2019).
27. Alelyani, SM., Fette, NW., Stechel, EB., Doron, P. and Phelan, PE., "Techno-Economic Analysis of Combined Ammonia-Water Absorption Refrigeration and Desalination", *Energy Conversion and Management*, Vol. 143, pp. 493–504, (2017).
28. Fallah, M., Mahmoudi, SMS., Yari, M. and Ghiasi, RA., "Advanced Exergy Analysis of the Kalina Cycle Applied for Low Temperature Enhanced Geothermal System", *Energy Conversion and Management*, Vol. 108, pp. 190–201, (2016).
29. Kalina, AI., "Combined-Cycle System With Novel Bottoming Cycle", *Journal of Engineering for Gas Turbines and Power*, Vol. 106, pp. 737–742, (1984).
30. Nguyen, TQ., Slawwhite, JD. and Boulama KG., "Power Generation from Residual Industrial Heat", *Energy Conversion and Management*, Vol. 51, pp. 2220–2229, (2010).
31. Dipippo, R., "Second Law Assessment of Binary Plants Generating Power from Low-Temperature Geothermal Fluids", *Geothermics*, Vol. 33, No. 5, pp. 565–586, (2004).

32. Modi, A. and Haglind, F., "Thermodynamic Optimisation and Analysis of Four Kalina Cycle Layouts for High Temperature Applications", *Applied Thermal Engineering*, Vol. 76, pp. 196–205, (2015).
33. Arslan, O., "Exergoeconomic Evaluation of Electricity Generation by the Medium Temperature Geothermal Resources , Using a Kalina Cycle: Simav Case Study", *International Journal of Thermal Sciences*, Vol. 49, No. 9, pp. 1866–1873, (2010).
34. Rodríguez, CEC., Palacio, JCE., Venturini, OJ., Silva Lora, EE., Cobas, MV., Santos, DM., et al., "Exergetic and Economic Comparison of ORC and Kalina Cycle for Low Temperature Enhanced Geothermal System in Brazil", *Applied Thermal Engineering*, Vol. 52, No. 1, pp. 109–119, (2013).
35. Fu, W., Zhu, J., Zhang, W. and Lu, Z., "Performance Evaluation of Kalina Cycle Subsystem on Geothermal Power Generation in the Oilfield", *Applied Thermal Engineering*, Vol. 54, No. 2, pp. 497–506, (2013).
36. Hettiarachchi, HDM., Golubovic, M., Worek, WM. and Ikegami, Y., "The Performance of the Kalina Cycle System 11 (KCS-11) With Low-Temperature Heat Sources", *Journal of Energy Resources Technology*, Vol. 129, No. 3, pp. 243–247, (2007).
37. Noorollahi, Y., Yousefi, H., Itoi, R. and Ehara, S., "Geothermal Energy Resources and Development in Iran", *Renewable and Sustainable Energy Reviews*, Vol. 13, No. 5, pp. 1127–1132, (2009).
38. Noorollahi, Y., Ghasempour, R. and Jalilinasrabad, S., "A GIS Based Integration Method for Geothermal Resources Exploration and Site Selection", *Energy Exploration and Exploitation*, Vol. 33, No. 2, pp. 243–258, (2015).
39. Noorollahi, Y., Shabbir, MS., Siddiqi, AF., Ilyashenko, LK. and Ahmadi, E., "Review of Two Decade Geothermal Energy Development in Iran, Benefits, Challenges, and Future Policy", *Geothermics*, Vol. 77, pp. 257–266, (2019).
40. Yousefi, H., Noorollahi, Y., Ehara, S., Itoi, R. and Yousefi, A., "Geothermics Developing the Geothermal Resources Map of Iran", *Geothermics*, Vol. 39, No. 2, pp. 140–151, (2010).
41. Hassani Mokarram, N. and Mosaffa, AH., "Investigation of the Thermo-economic Improvement of Integrating Enhanced Geothermal Single Flash with Transcritical Organic Rankine Cycle", *Energy Conversion and Management*, Vol. 213, pp. 112831, (2020).
42. Mohammadkhani, F., Shokati, N., Mahmoudi, SMS., Yari, M. and Rosen, MA., "Exergoeconomic Assessment and Parametric Study of a Gas Turbine-Modular Helium Reactor Combined with Two Organic Rankine Cycles", *Energy*, Vol. 65, pp. 533–543, (2014).
43. Heo, J-H., Kim, M-K., Park, G-P., Yoon, Y-T., Park, J-K., Lee, S-S., et al., "A Reliability-Centered Approach to an Optimal Maintenance Strategy in Transmission Systems Using a Genetic Algorithm",

- IEEE Transactions on Power Delivery*, Vol. 26, No. 4, pp. 2171–2179, (2011).
44. Kazemiani-najafabadi, P. and Amiri Rad, E., "Multi-Objective Optimization of a Novel Offshore CHP Plant Based on a 3E Analysis", *Energy*, Vol. 224, pp. 120135, (2021).
45. Wang, J., Wang, J., Zhao, P. and Dai, Y., "Proposal and Thermodynamic Assessment of a New Ammonia-Water Based Combined Heating and Power (CHP) System", *Energy Conversion and Management*, Vol. 184, pp. 277–289, (2019).

## Thermoeconomic Optimization of a Superheated Kalina Cycle for Various Geothermal Source Temperatures in Iran

Parisa Kazemiani-Najafabadi<sup>1</sup>, Ehsan Amiri Rad<sup>2</sup>

### 1. Introduction

Today, fighting against climate change, global warming and declining fossil fuel sources are important issues requiring comprehensive cooperation. Increasing the population leads to the significant growth of world energy demand. Forecasts of energy demand indicate that from 2010 to 2035 world's energy demand grows about 35%. The greenhouse gas emission is one of the disadvantages of activities related to energy generations. Therefore, immediate actions to decrease the pollutant emissions are essential. Employing carbon capture systems, using renewable energies, storage techniques, and improving the energy conversion efficacy are some methods for decreasing environmental emissions.

Among the renewable energies, geothermal energy is one of the promising resources as it is clean, sustainable, and reliable. It is a heat energy that emanates from the heat beneath the earth's interior. Generating electricity by geothermal resources dates back to many years ago.

The steam Rankine cycle is an effective cycle to generate power. Due to high critical temperature of water, however, using steam cycle is not a good choice for heat sources with low and moderate temperatures. But the use of some organic fluids that have low boiling points is an alternative choice. High exergy destruction in evaporator is the main problem in ORCs. Therefore, due to variable phase change temperature (non-isothermal), the use of the zeotropic mixtures like ammonia-water as the working fluid was proposed. Kalina cycle is a kind of power cycle in which ammonia-water mixture is used as the working fluid.

In this study, based on the thermodynamic and thermoeconomic analyses, a superheated Kalina cycle driven by a geothermal heat source is analyzed. The effects of ammonia concentration and turbine pressure on the performance of the system are investigated. Finally, for different

temperatures of geothermal sources in Iran, the optimum ammonia concentration and optimum turbine pressure are presented, using a genetic algorithm.

### 2. System Description

In this study, a superheated Kalina cycle is simulated that uses a geothermal resource as the heat source. Ammonia-water mixture is used as the working fluid. Figure 1 shows the schematic of the investigated superheated Kalina cycle.

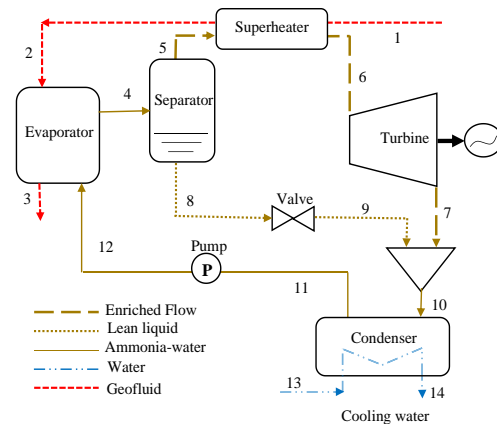


Figure 1. A configuration of a superheated Kalina cycle

### 3. System Analysis

In this research, a superheated Kalina cycle is modeled based on thermodynamic and thermoeconomic analyses. Ammonia concentration and turbine pressure are two effective operating parameters. First, the effects of these parameters on the performance of the system are investigated. Then, based on the genetic algorithm, the system is optimized and the optimum values of parameters for different geothermal heat sources are reported.

#### *The effect of turbine pressure on the cycle performance*

Increasing the turbine pressure reduces the energy and exergy absorbed in the evaporator. Therefore, at a heat source temperature of 170 °C, maximum energy and exergy efficiencies occur at pressures of 30.56 bar and 28.33 bar, respectively, as shown in Figure 2.

<sup>1</sup>. Doctorate of Energy Conversion, Department of Mechanical Engineering, Center of Computational Energy, Hakim Sabzevari University, Sabzevar, Iran.

<sup>2</sup>. Corresponding author :Associate Professor of Energy Conversion, Department of Mechanical Engineering, Center of Computational Energy, Hakim Sabzevari University, Sabzevar, Iran.  
Email: [Ehsanamech@gmail.com](mailto:Ehsanamech@gmail.com)

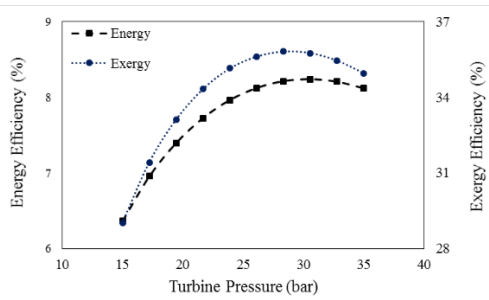


Figure 2. The effects of various turbine pressures on the energy and exergy efficiencies

**The effect of ammonia concentration on the cycle performance**

Considering Figure 3, at a heat source temperature of 170 °C, the maximum energy and exergy efficiencies occur at a concentration of 7%.

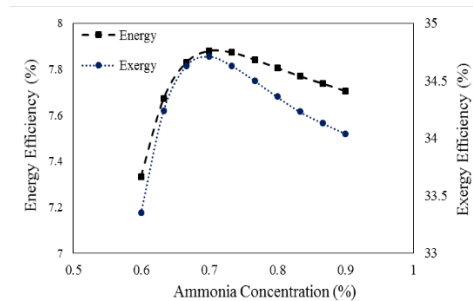


Figure 3. Effects of various ammonia concentrations on the energy and exergy efficiencies

**Simultaneous optimization**

In order to optimize the system, minimizing the exergy cost of power generation is considered as the objective function. Using the genetic optimization algorithm at the heat source temperature of 170 °C, the optimal values for ammonia concentration and turbine pressure are obtained 80.1% and 28.85bar, respectively. Finally, the optimum values of parameters for different heat source temperatures are listed in Table 1.

Table 1. Optimum values of pressure and concentration for different heat source temperatures.

| Region    | Temperature | Optimum values | Objective function (\$/GJ) |
|-----------|-------------|----------------|----------------------------|
| Sahand    | 165°C       | P=27.99        | 3.1                        |
|           |             | X=80.13        |                            |
| Khoy-Maku | 170 °C      | P=28.85        | 3.096                      |
|           |             | X=80.1         |                            |
| Sabalan   | 183°C       | P=30.05        | 3.085                      |
|           |             | X=80.21        |                            |
| Damavand  | 190°C       | P=33.61        | 3.076                      |
|           |             | X=83.39        |                            |

**4. Conclusion**

In this study, with the aim of generating power from geothermal sources in Iran, a superheated Kalina cycle was modeled. Based on thermodynamic and thermoeconomic analyses, the effects of various turbine pressures and ammonia-water concentrations on the cycle performance were investigated. The results show that for heat source temperature of 170 °C and concentration of 65%, the minimum exergy cost of power generation happens at a pressure of 19.44 bar. Moreover, at a constant pressure of 22 bar, the minimum exergy cost of power generation occurs at a concentration of 70.33%. Finally, using the genetic algorithm and the objective function of minimizing the exergy cost of power generation, for heat source temperature of 170°C the optimum values of concentration and pressure obtain 80.1% and 28.85 bar, respectively. Eventually, in order to achieve maximum performance, the optimal values of concentration and pressure are presented for different temperatures of geothermal sources in Iran.